

Список литературы

- [1] Пинскер З.Г. Рентгеновская кристаллооптика. М.: Наука. 1982. С. 390.
- [2] Александров Ю.А., Шарапов Э.И., Черн Л. Дифракционные методы в нейтронной физике. М.: Энергоиздат. 1981. С. 216.
- [3] Иолин Е.М., Энтин И.Р. // ЖЭТФ. 1983. Т. 85. С. 1692-1700.
- [4] Иолин Е.М., Золотая бко Э.В., Райтман Э.А., Кувадин Б.В., Гаврилов В.Н. // ЖЭТФ. 1986. Т. 91. С. 2132-2139.
- [5] Энтин И.Р., Пучкова И.А. // ФТТ. 1984. Т. 26. С. 3320-3324.
- [6] Ассур К.П., Энтин И.Р. // ФТТ. 1982. Т. 24. С. 2122-2129.
- [7] Энтин И.Р. // Динамическая и кинематическая дифракция рентгеновских лучей на кристаллах, сильно искаженных ультразвуковыми колебаниями. Препринт ИФТТ АН СССР, Т-04131, Черноголовка, 1986 с.
- [8] Гаврилов В.Н., Золотая бко Э.В., Иолин Е.М. Дифракция мессбаузеровского излучения в моно-кристалле кремния при высокочастотном ультразвуковом возбуждении. Геометрия Брэгга. Препринт ЛАФИ-094, Саласпилс, 1986.

Институт физики
АН Латв. ССР, Саласпилс

Поступило в Редакцию
12 октября 1988 г.

В окончательной редакции
30 января 1989 г.

Письма в ЖТФ, том 15, вып. 8

26 апреля 1989 г.

03; 04

ПРЕДВЕСТИК УДАРНОЙ ВОЛНЫ
В ПЛАЗМЕ ТЛЕЮЩЕГО РАЗРЯДА

И.В. Басаргин, Г.И. Мшин

Исследования ударных волн (УВ) в слабоионизованной неравновесной плазме привели к обнаружению ряда их необычных свойств [1-9]. Для объяснения наблюдавшихся эффектов была выдвинута версия [7], что перед УВ в плазме возникает тепловой предвестник, существенным образом изменяющий параметры и динамику УВ. Предполагалось, что плотность газа в предвестнике понижена, а давление незначительно отличается от давления окружающего газа.

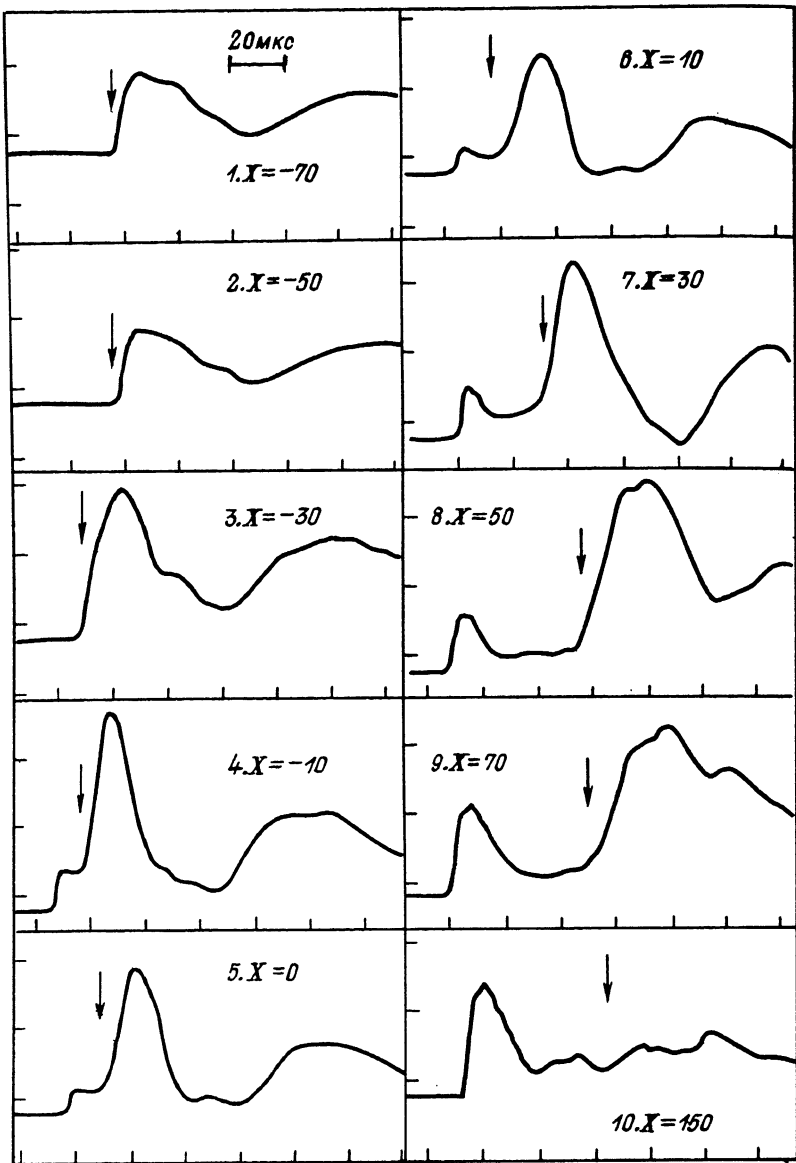


Рис. 1. Осциллограммы импульсов давления в различных точках вдоль диаметра плазменного столба вертикально ориентированного тлеющего разряда при поперечном распространении в нем ударной волны. Положение УВ отмечено стрелкой; X – координата датчика давления в мм, отсчитываемая от оси разряда; скорость развертки 20 мкс/деление; чувствительность: 1 – 1 в/д, 2 – 0.5 в/д, 3 – 0.1 в/д, 4–6 – 50 мв/д, 7–9 – 20 мв/д, 10 – 10 мв/д.

На появление предвестника косвенно указывали некоторые экспериментальные факты [8]. Существование предвестника впервые было зарегистрировано авторами работы [9] при исследовании распространения УВ в продольном тлеющем разряде в воздухе (давление 6 торр, скорость входа УВ в разряд 1000 м/с, скорость УВ в плазме 1500 м/с).

Предвестник формировался в процессе движения УВ вдоль разряда и на расстоянии, большем 50 мм от начала плазменной области, приобретая стационарный вид: плотность газа в нем была ниже плотности газа в плазме, а давление составляло приблизительно лишь четвертую часть давления в УВ. Ширина предвестника равнялась \sim 30 мм.

В настоящей работе описываются результаты изучения свойств УВ, распространяющейся поперек вертикально ориентированного тлеющего разряда в воздухе (сила тока в разряде 1.1 А, диаметр плазменного столба \sim 100 мм, температура газа на оси разряда 1400 К, давление 33 торра).

Постепенное увеличение интенсивности входящих в плазму УВ показало, что возникновение предвестника имеет порог. Предвестники существуют перед УВ, скорость которых превышает \sim 600 м/с.

Эксперименты, проведенные с такими УВ, привели к обнаружению сложной эволюции предвестника и УВ при их движении в плазме тлеющего разряда.

На рис. 1 приведены осциллограммы импульсов давления, записанные с помощью торцевого датчика [5], ориентированного навстречу УВ, входящей в плазму со скоростью \sim 1100 м/с (в районе $X = 0$ вследствие расширения течения скорость УВ в отсутствие разряда равнялась \sim 620 м/с). Предвестник возникал практически сразу при входе УВ в область разряда и по мере ее продвижения в глубь плазмы ($X \approx -25$ мм) происходило формирование его развитой стадии.

Однако, в отличие от ранее наблюдавшейся картины [9], в данном случае предвестник не сохранял стационарную форму. Вследствие того что скорость фронта предвестника была \sim 2000 м/с, т.е. больше чем скорость генерирующей его УВ \sim 1000 м/с, протяженность предвестника постепенно увеличивалась и в центральной зоне разряда достигала около 30 мм. В дальнейшем предвестник начинал существенным образом изменять свои параметры. Развивавшуюся при этом картину оказалось возможным интерпретировать как отход предвестника от УВ, поскольку давление в области между предвестником и УВ было в 2-3 раза меньше, чем в предвестнике.

Выходя из плазмы, предвестник и УВ имели сверхзвуковую скорость ($M \approx 1.5$), при этом предвестник сохранял свою форму, а УВ быстро размывалась.

Изменения амплитуд предвестника и УВ в процессе их движения в плазме показаны на рис. 2, там же нанесены для сравнения значения амплитуд УВ в тех же условиях, но при погашенном разряде.

Как можно видеть, при продвижении УВ в плазму амплитуда предвестника сначала уменьшалась быстрее, чем амплитуда УВ, и в

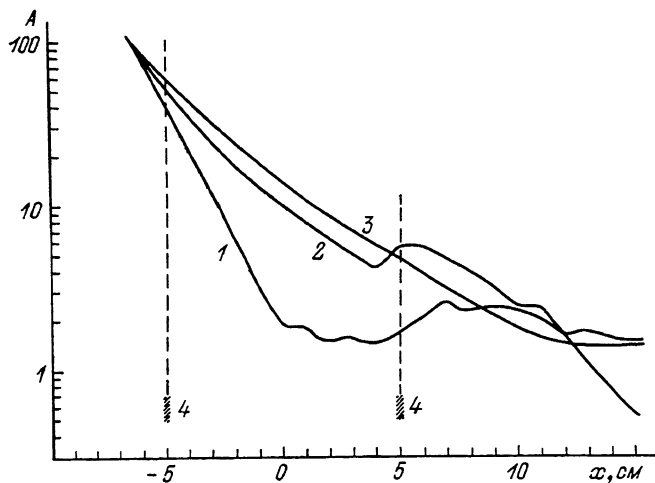


Рис. 2. Изменения амплитуд предвестника и ударной волны в процессе их движения в плазме. 1 – амплитуда предвестника, 2 – амплитуда УВ в плазме, 3 – амплитуда УВ при тех же условиях без разряда, 4 – границы плазменной области.

центральной зоне разряда составляла приблизительно 1/5 от амплитуды УВ. После прохождения оси разряда предвестник незначительно изменял свою амплитуду, а амплитуда УВ продолжала уменьшаться, поэтому перед выходом из разряды ($X \approx 40$ мм) отношение амплитуд предвестника и УВ составляло уже около 1/3.

Отделившись от УВ предвестник двигался в автомодельном режиме, оставляя за собой УВ с сильно растянутым (~ 10 мм) передним фронтом.

Рассмотрение зависимостей амплитуды предвестника в центре разряда и на выходе из него от скорости входа УВ показало, что с ее увеличением амплитуда предвестника возрастает. Для скоростей входящих УВ, больших ~ 700 м/с, эта зависимость была близка к линейной. При уменьшении скорости входящей в плазму УВ амплитуда предвестника не уменьшалась до нуля, а имела минимальное значение, регистрируемое при скорости входа УВ ~ 600 м/с.

На границе разряда имел место связанный с выходом из тепловой неоднородности скачок амплитуды УВ (одновременно регистрировалось соответствующее ему увеличение скорости УВ). В свою очередь при выходе предвестника из области разряда наблюдался подъем его амплитуды, обусловленный исчезновением заряженной компоненты и ростом плотности газа.

С целью выяснения механизма столь неожиданного поведения УВ в плазме исследовалось ее прохождение через создаваемую электрической печкой осесимметричную тепловую неоднородность ($P = 3.3$ торра, температура воздуха на оси неоднородности 700 К), радиальный

профиль температуры в которой был подобен существовавшему в разряде. В широком диапазоне режимов УВ ее параметры (скорость, амплитуда) не отличались от соответствующих расчетных „тепловых” значений, причем крутизна фронта УВ при этом не уменьшалась, а предвестник не появлялся.

Кроме того, были проведены эксперименты в вертикальном тлеющем разряде в аргоне (примесь воздуха меньше 1% по давлению), при аналогичных плазме воздуха условиях ($P = 33$ торра, ток в разряде 1.1 А).

Оказалось, что при распространении УВ в плазме одноатомного газа перед ней также образуется предвестник, и наблюдаемое явление в целом полностью адекватно тому, которое было обнаружено в плазме воздуха.

Следовательно, определяющие явление процессы обусловлены существованием в плазме заряженных частиц, а не наличием градиентов температуры и не свойствами молекул газов.

Снятие осцилограмм тока и напряжения в разряде позволило установить, что их изменения происходят лишь в момент входа в область плазмы контактной поверхности и спутного потока. Таким образом описанные выше процессы в УВ в тлеющем разряде протекают в условиях стационарной плазмы.

Обнаруженное явление подтверждает версию [7], в соответствии с которой большая скорость предвестника при существовании в нем относительно небольшого давления объясняется нагревом образующего его газа. Рост температуры в предвестнике, возможно, происходит за счет диссипации ионно-звуковых волн и наличия на фронте генерирующей его УВ двойного электрического слоя, вызванного разделением зарядов.

Вследствие того что крутой фронт предвестника сохраняется и при его последующем движении, связанная с разделением зарядов разность потенциалов существует на фронте предвестника во всей плазменной области. Проходя эту разность потенциалов, электроны увеличивают свою энергию на значительно большую величину, чем при адиабатическом сжатии [10]. Эта энергия за счет упругих соударений электронов с нейтралами трансформируется в тепловую энергию газа [11].

Амплитуда УВ превосходит величину, соответствующую скорости в плазме, а амплитуда предвестника много меньше, чем значение, соответствующее числу M его движения, что указывает на нетривиальность наблюданного явления.

С п и с о к л и т е р а т у р ы

- [1] Климов А.И., Коблов А.Н., Мишин Г.И. и др. // Письма в ЖТФ. 1982. Т. 8. № 7. С. 439–443.
- [2] Климов А.И., Коблов А.Н., Мишин Г.И. и др. // Письма в ЖТФ. 1982. Т. 8. № 9. С. 551–554.
- [3] Горшков В.А., Климов А.И., Коблов А.Н. и др. // ЖТФ. 1984. № 3. С. 995–998.

- [4] Басаргин И.В., Мишин Г.И. Препринт № 880 ФТИ АН СССР. Л., 1984. 22 с.
- [5] Басаргин И.В., Мишин Г.И. // Письма в ЖТФ. 1985. Т. 11. № 4. С. 209-215.
- [6] Грачев Л.П., Есаков Н.И., Мишин Г.И. и др. // ЖТФ. 1985. Т. 55. № 5. С. 972-975.
- [7] Мишин Г.И. // Письма в ЖТФ. 1985. Т. 11. № 5. С. 274-278.
- [8] Басаргин И.В., Мишин Г.И. // Письма в ЖТФ. 1985. Т. 11. № 21. С. 1297-1303.
- [9] Горшков В.А., Климов А.И., Мишин Г.И., Федотов А.Б., Явор И.П. // ЖТФ. 1987. № 10. С. 1893-1898.
- [10] Держиеев В.И., Жидков А.Г., Яковлеко С.И. Излучение ионов в неравновесной плотной плазме. М.: Энергоатомиздат, 1986. 106 с.
- [11] Ingard U. // The Physical Review. 1966. V. 145. N 1. P. 41-46.

Поступило в Редакцию
9 марта 1989 г.

Письма в ЖТФ, том 15, вып. 8

26 апреля 1989 г.

06.3; 07

ФОТОИНДУЦИРОВАННОЕ ПОГЛОЩЕНИЕ
В ОПТИЧЕСКИХ ВОЛНОВОДАХ НА ОСНОВЕ
ЛЕГИРОВАННОГО ТИТАНАТА ВИСМУТА ($\text{Bi}_{12}\text{TiO}_{20}$)

В.М. Абусев, Е.И. Леонов,
А.А. Липовский

В последние годы в системах записи, хранения и обработки оптической информации широко применяются монокристаллы типа силленитов [1, 2]. Изучение фотоиндукции поглощения света (ФИП) в таких монокристаллах позволяет существенно расширить представление об их энергетической структуре и возможностях воздействия на нее. Эффект ФИП также может быть использован при построении оптических устройств, управляемых светом. Большой интерес представляет реализация ФИП в оптических волноводах (ОВ) на основе монокристаллов типа силленитов [3].

Исследование ФИП при комнатной температуре в монокристаллических пленочных световодах $\text{Bi}_{12}\text{TiO}_{20} : \text{Fe}$ [3] ранее позволило нам определить спектральную зависимость ФИП, его зависимость от соотношения интенсивностей засвечивающего и считающего излучения, а также обнаружить фотоиндукционное нелинейное пропускание ОВ $\text{Bi}_{12}\text{TiO}_{20}$ [4].